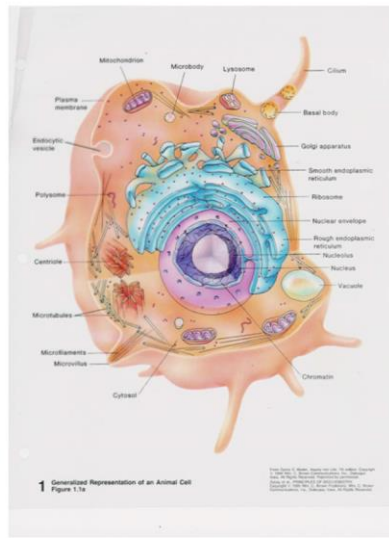


## Biochemická organizace eukaryotní buňky

Pozn.: Pod heslem „učebnice“ se v komentářích skrývá kniha M.Kodiček, O.Valentová a R.Hynek: Biochemie – chemický pohled na biologický svět, 2. vydání 2018.

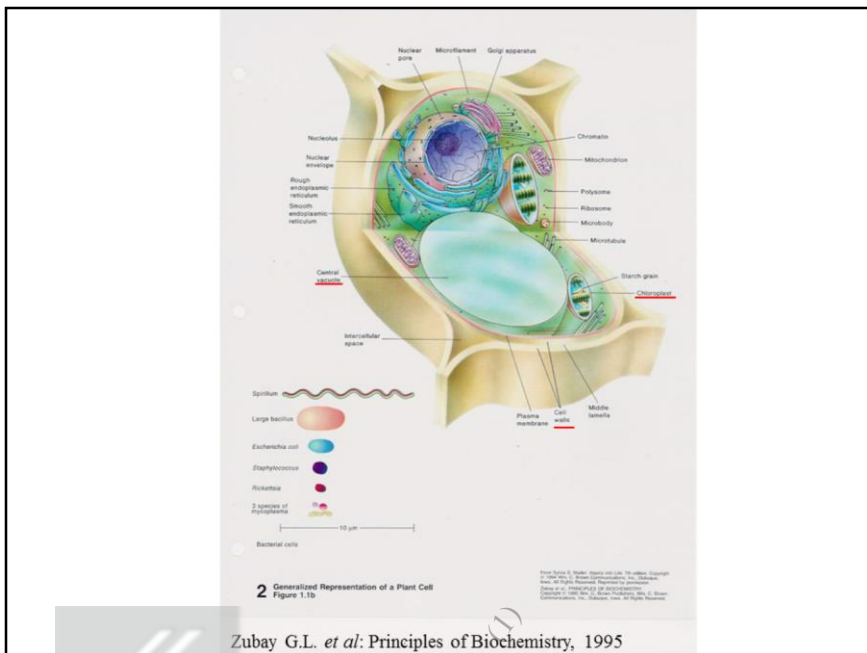


1 Generalized Representation of an Animal Cell  
Figure 1-1a

Zubay G.L. et al: Principles of Biochemistry, 1995

Prohlédněte si tab. 1.3 (Učebnice str. 17) a zopakujte si, co již o jednotlivých organelách víte.

Uvědomte si, že náplní eukaryotní buňky (cytosolem) není „zředěný roztok molekul a iontů“, ale 30% „pasta“ bílkovin, obklopující obrovské množství organel a nadmolekulových struktur.



Zubay G.L. et al: Principles of Biochemistry, 1995

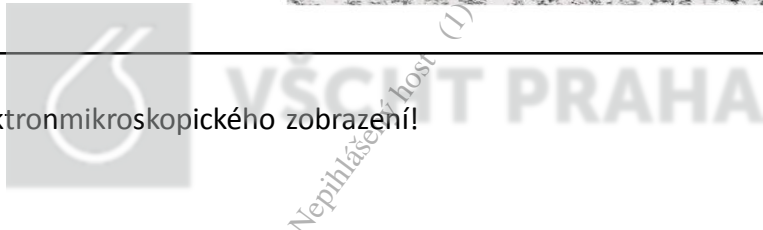
Rostlinná buňka se od živočišní liší především přítomností chloroplastů, obvykle velikou vakuolou a buněčnou stěnou.

## MITOCHONDRIE

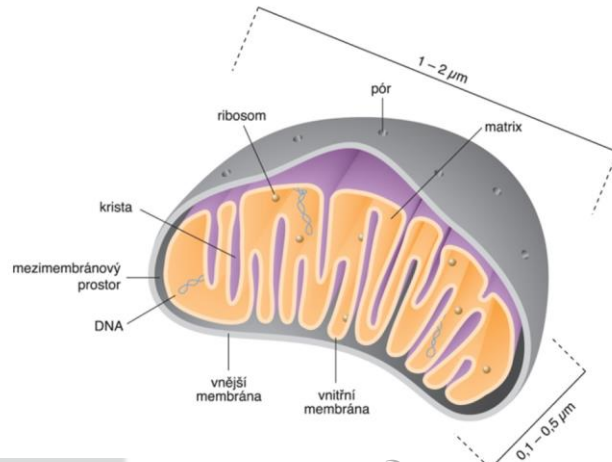
(elektronmikroskopický  
obrázek tenkého řezu  
jaterní mitochondrie,  
autor: Daniel S. Friend)



Nádhera elektronmikroskopického zobrazení!

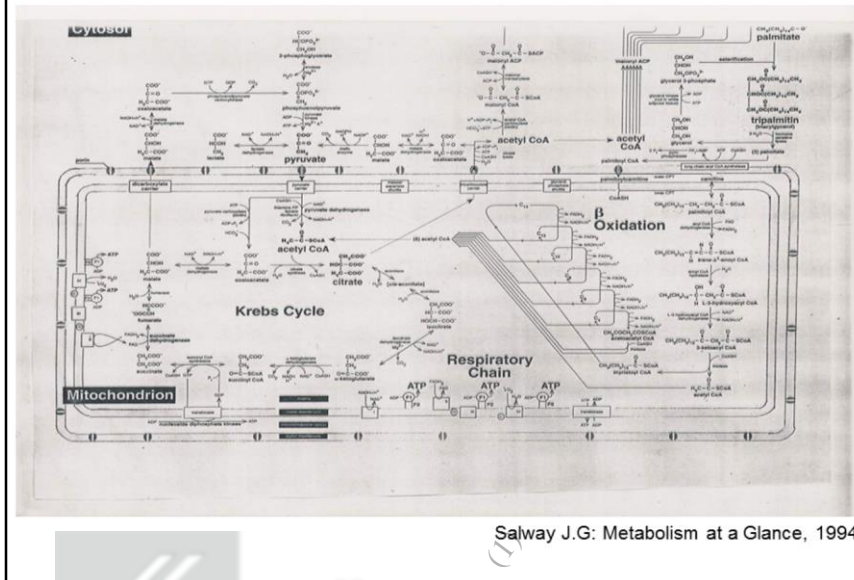


## Mitochondrie (schema)



Nejdůležitější funkce mitochondrie: dýchací řetězec a membránová fosforylace.  
Zajímavosti: „děravá“ vnější membrána (membránové póry, určuje tvar organely),  
kristy (zvětšení plochy vnitřní membrány), kompletní proteosyntetický aparát (DNA,  
ribosomy atd., některé kodony zde mají jiný význam než v cytosolu).

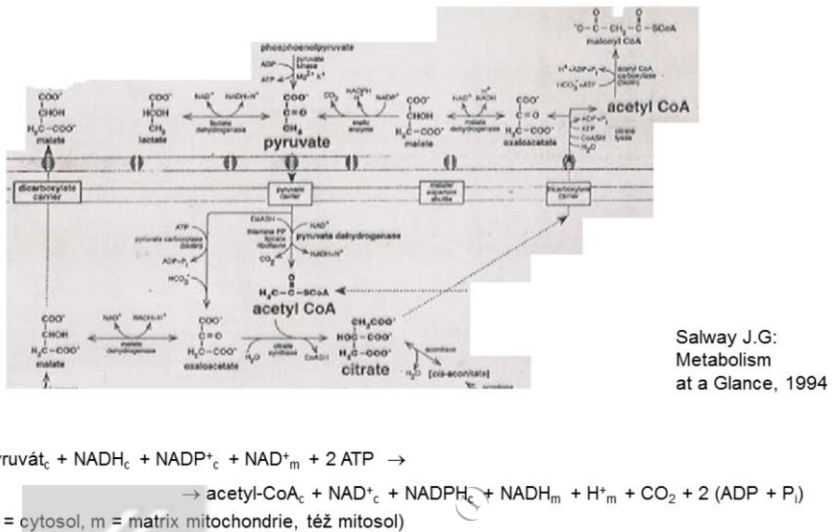
## Mitochondrie (schema základních katabolických procesů)



Nejdůležitější mitochondriální metabolické dráhy: citrátový (Krebsův) cyklus a  $\beta$ -oxidace mastných kyselin

## Pyruvát-malátový cyklus

(aneb Jak zapojit pyruvát z glykolysy do syntézy mastných kyselin?)



Podrobnosti na dalším slidu

## Pyruvát-malátový cyklus

### (dojemná souhra metabolických procesů v cytosolu a mitochondrii)

Glykolyza a biosynthesa mastných kyselin probíhají v cytosolu, ale oxidační dekarboxylace pyruvátu v mitochondrii (Učebnice, odd. 9.2)

Jak tedy získat acetyl-CoA z pyruvátu v cytosolu (srov. předchozí slide)?

1: dvě molekuly pyruvátu vstupují z cytosolu do mitochondrie (sekundární aktivní transport spolu s H<sup>+</sup>; učebnice odd. 5.9.1);

2: jedna molekula pyruvátu oxidačně dekarboxylována za vzniku acetyl-CoA a NADH, druhá karboxylována za vzniku oxalacetátu (známo z glukogeneze, učebnice str. 303 obr. 10.7);

3: připojení acetylku k oxalacetátu za vzniku citrátu (1. reakce citrátového cyklu, učebnice str. 270);

4: citrát transportován zpět do cytosolu;

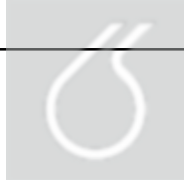
5: citrát v cytosolu rozložen na acetyl-CoA a oxalacetát (enzym ATP-citrát lyasa EC 2.3.3.8):  
 $\text{citrát} + \text{ATP} + \text{CoA} \rightarrow \text{oxalacetát} + \text{acetyl-CoA} + \text{ADP} + \text{P}_i$ ;

6: oxalacetát redukován pomocí NADH z glykolyzy;

7: malát oxidačně dekarboxylován pomocí NADP<sup>+</sup> na pyruvát (jablečný enzym, učebnice str. 318).

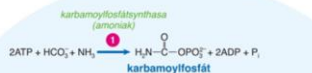
Sumární rovnice na minulém slidu. Výsledek: v cytosolu vznikly z pyruvátu acetyl-CoA a navíc z NADH NADPH, potřebný při synthese MK k redukcím.

Domácí úkol: Napište pomocí strukturnízorů rovnice reakcí, popsaných v bodech 2, 3, 6 a 7!  
Zhodnoťte celkovou energetickou bilanci tohoto cyklu!

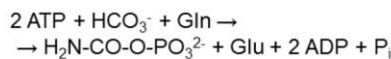


VŠCHT PRAHA  
*Nepřihlášený host*

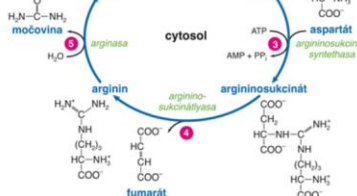
## Močovinový cyklus



Poznámka na okraj:  
vznik karbamoylfosfátu v cytosolu



Karbamoylfosfát je prekursor mnoha anabolických procesů v cytosolu (např. syntheza pyrimidinových bází).

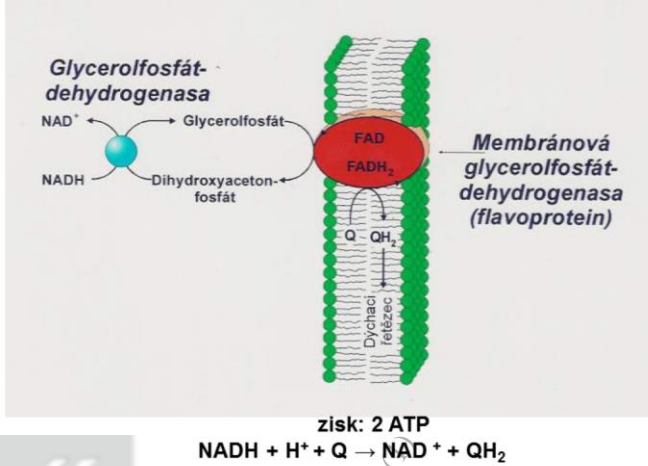


Antiport ornithinu a citrullinu – úžasná vymakanost! Otázka: proč je ten antiport zde tak výhodný?

Synthesa pyrimidinových nukleotidů: učebnice str. 360)

## Jak zapojit cytosolové NADH do dýchacího řetězce?

**glycerolfosfátové kyvadlo** (postranní vstup do DŘ)

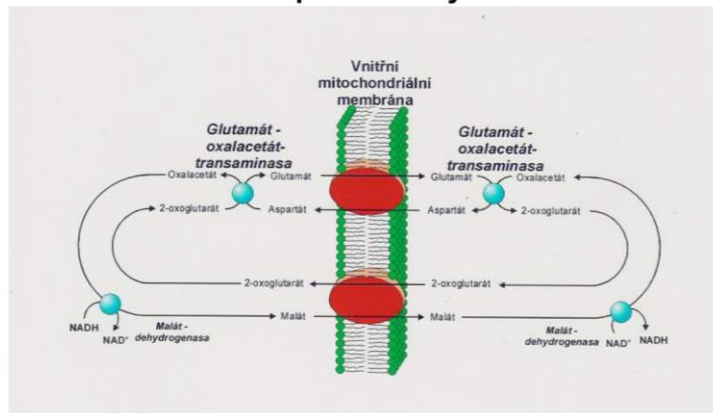


Logika glycerolfosfátového a malátaspartátového kyvadla vysvětlena v učebnici (str. 300).

Otázka: O kolika postranních vstupech do dýchacího řetězce jsme až dosud mluvili?

## Jak zapojit cytosolové NADH do dýchacího řetězce?

### malát-aspartátové kyvadlo



zisk: 3 ATP (ve srovnání s glycerofosfátovým kyvadlem složitější → pomalejší)  
(jediný výsledek:  $\text{NADH}_c \rightarrow \text{NADH}_m$ )



## Příklady transportních systémů ve vnitřní mitochondriální membráně

Poznámky k jednotlivým systémům (začínáme vlevo nahore, postupujeme po směru hodinových ručiček):

V mitosolu se fosforyluje ADP na ATP : membránová fosforylace, učebnice str. 249); je tam zapotřebí dodávat ADP a P<sub>i</sub> a naopak odvádět ATP; ATP/ADP-translokasa využívá membránový potenciál (zde ΔΨ), fosfátový přenašeč naopak koncentračního spádu protonů.

Transport malát a citrátu je metabolicky důležitý.

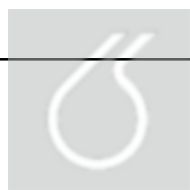
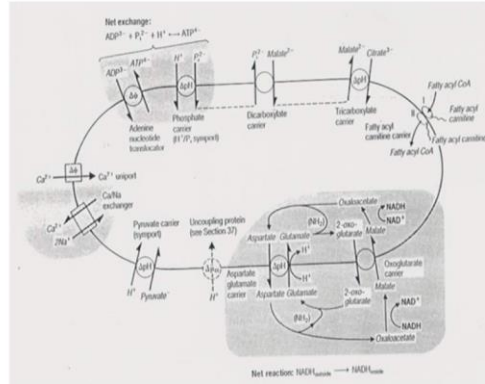
Karnitinový přenašeč – viz učebnice str. 164.

Malát aspartátové kyvadlo popsány na minulém slidu.

„Uncoupling protein“ reguluje proton-motivní silu.

Pyruváttranslokasa – viz učebnice str. 267.

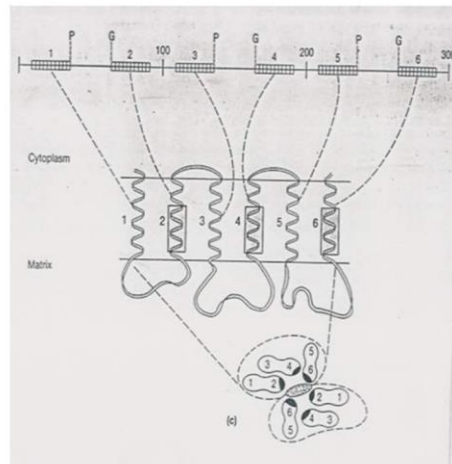
Transport Na<sup>+</sup> a Ca<sup>2+</sup> je významný pro udržení biněžné iontové homeostasy.



**VŠCHT PRAHA**  
Nepřihlášený host

## HOMOLOGNÍ STRUKTURA PŘENAŠECŮ ANIONTŮ V MITOCHONDRIÁLNÍ MEMBRÁNĚ

- základní jednotka (100 ÅK) se 3x opakuje
- krátká smyčka ( $\approx 45$  ÅK) na straně matrix (na tomto obrázku není zcela zřetelné)
- konzervované zbytky Pro a Gly na koncích transmembránových úseků
- amfipatické transmembránové helixy (helixy 2, 4 a 6)
- funkční jednotka: dimer s hydrofilním kanálkem (*ad c*, pohled „kolmo na membránu“, dobře vyznačeny hydrofilní povrchy helix 2, 4 a 6)



Toto je ukázka tzv. proteinové rodiny (skupina bílkovin analogické funkce s jistými společnými strukturními znaky).

## **Elektronmikroskopický obrázek krysího hepatocytu (jaterní buňka)**

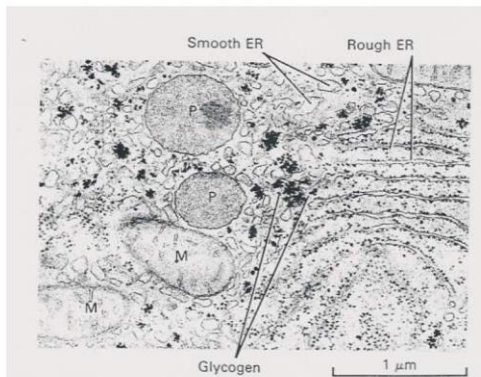
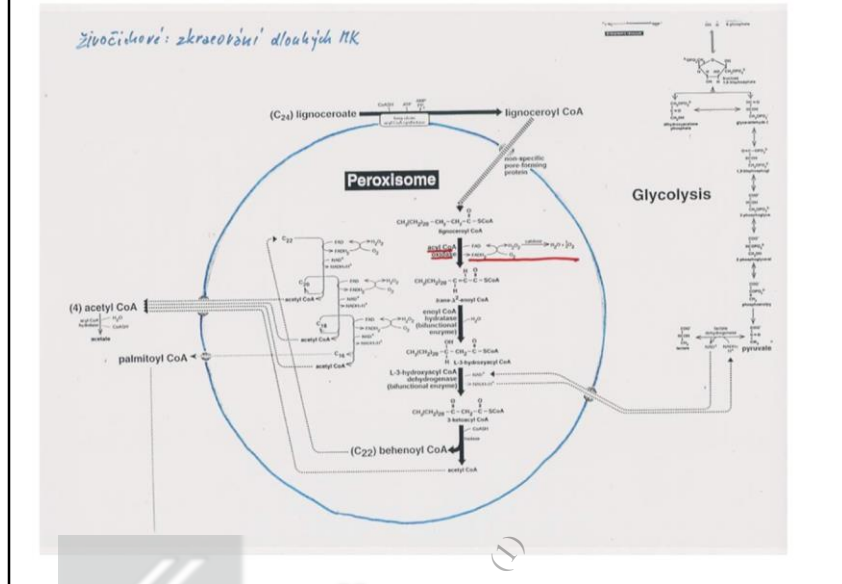


Figure 5-31 A higher-magnification micrograph of a section of a rat hepatocyte, showing two mitochondria (M), two peroxisomes (P), rough and smooth endoplasmic reticula, and glycogen rosettes. Courtesy of P. Lazarow.

Všimněte si „hustoty“ ortagel (viz 1. slide)!

## Zkracování dlouhých mastných kyselin v peroxisomu

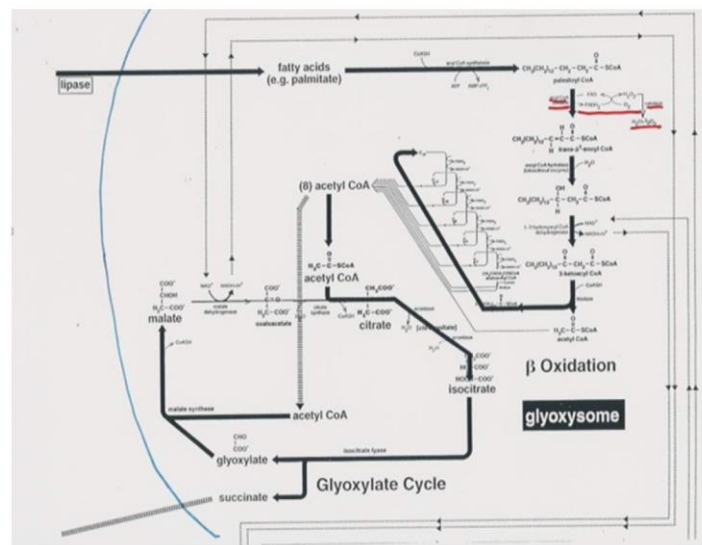
*Živočišné: zkracování dlouhých MK*



Peroxisom je organela, v níž jsou lokalizovány mnohé reakce, při nichž vzniká peroxid vodíku, který je zde rychle rozkládán katalasou. V rostlinných peroxisomech probíhá fotorespirace.

Na obr. je červeně podtržena první reakce zkracování dlouhých mastných kyselin, která však zde nemůže být napojena na dýchací řetězec jako v mitochondrii; použije se místo toho „oxidasový“ trik, kdy vzniká peroxid vodíku (zvýrazněno červeně).

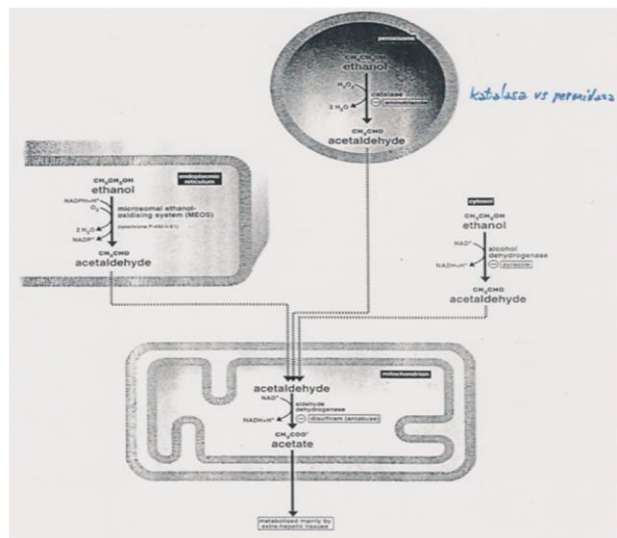
### $\beta$ -Ox. MK a glyoxylátový cyklus v glyoxysomu („rostlinný peroxisom“)



Salway J.G: Metabolism at a Glance, 1994

Vstup mastných kyselin do „mimomitochondriálního“ zkracování. Oceňte prosím šikovnost propojení „oxidasové“  $\beta$ -oxidace a glyoxylátového cyklu! Zvažte z energetického hlediska, kolik tato lokalizace a provedení  $\beta$ -oxidace buňku „stojí“ ve srovnání s umístěním v mitochondrii.

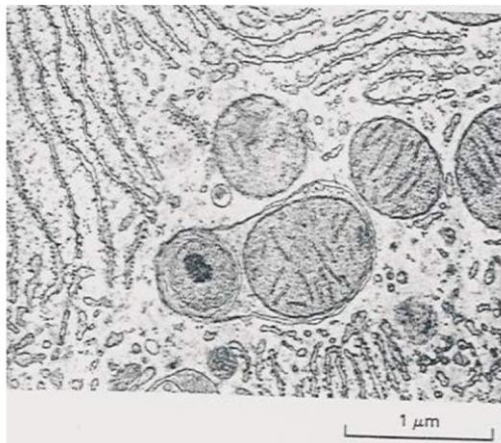
## Různé způsoby oxidace ethanolu na acetaldehyd



Salway J.G: Metabolism at a Glance, 1994

Při dehydrogenaci ethanolu za vzniku acetaldehydu mohou být oxidačními činidly  $NAD^+$  (alkoholdehydrogenasa v cytosolu nebo v mitochondrii), kyslík (cytochrom-P450 v endoplasmatickém retikulu, je použit druhý donor elektronů NADPH) a molekulový kyslík (zde si všimněte možnosti katalasy působit jako peroxidasa).

### Sekundární lysosom aneb pohřeb mitochondrie



Úkolem lysosomu je zajistit tzv. vnitrobuněčné trávení, tedy hydrolytický rozklad molekul (proteinů apod.) nebo i organel či dokonce buněk. Uvnitř lysosomu je kyslé prostředí ( $\text{pH} \sim 5$ ); přítomné hydrolytické enzymy mají kyslé pH optimum. Lysosomální proteasy patří do skupiny tzv. kathepsinů (učebnice, str. 344 a 345).

Zde právě lysosom sežral starou mitochondrii.

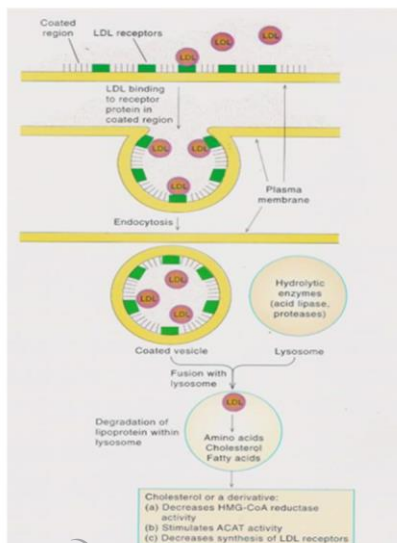
## Endocytosa LDL (zjednodušené schéma)

Vazba LDL na specifický receptor prostřednictvím jeho proteinů

Endocytosa: Vchlípení buněčné membrány a vznik endosomu

Spojení endosomu s tzv. primárním lysosome, které vzniklo odštěpením z endoplasmatického retikula a obsahuje hydrolytické enzymy

Hydrolyza proteinů a lipidů



LDL = low density lipoprotein, učebnice str. 322.

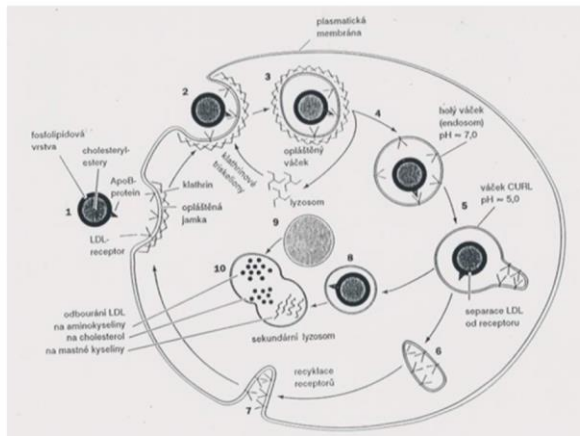
## Endocytosa LDL (podrobné schema)

Vysvětlivky (srovnej s předchozím slidem!):

2: klahrin: viz učebnice str. 160 a 169

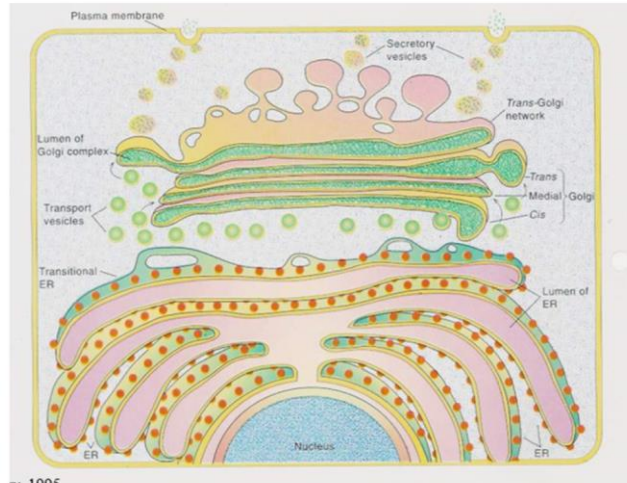
5: snížení intralysosomálního pH (primární aktivní transport protonů), proto se uvolní LDL z vazby na receptor; receptorové molekuly se shromáždí v jedné části membrány, která je pak uvolněna a začleněna zpět do buněčné membrány (kroky 6 a 7)

10: spojení váčku s LDL s primárním lysozinem, vznik sekundárního lysozmu; hydrolytický rozklad látek



VŠCHT PRAHA  
Nepřihlášený host

## Hrubé endoplasmatické retikulum a Golgiho aparát



Hlavní funkce: translace a posttranslační modifikace

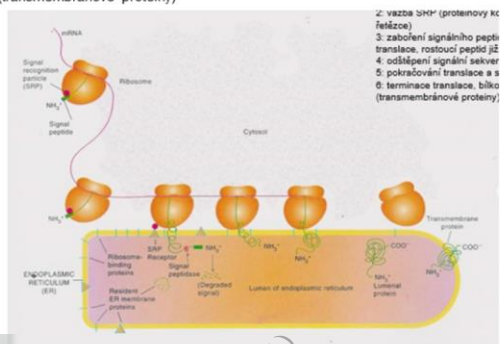
Několik uzavřených prostor: lumen ER, cis, střední a trans část Golgiho aparátu

Komunikace mezi nimi: pomocí transportních váčků

## Translace na hrubém endoplasmatickém retikulu

### Průběh translace:

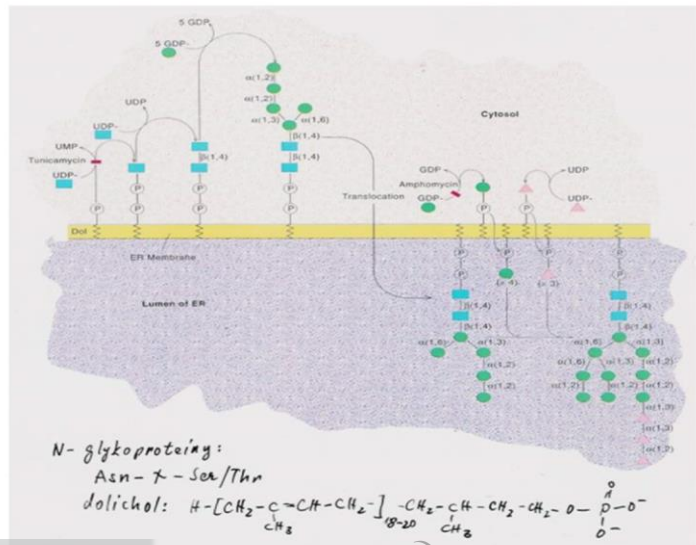
- 1: syntéza signálního peptidu (presekvence):  $\sim 20$  hydrofobních aminokyselin (slouží k průchodu peptidového řetězce do lumen ER)
- 2: vazba SRP (proteinový komplex, signal recognition particle, brání prodlužování peptidového řetězce)
- 3: zabofení signálního peptidu do membrány ER a vazba SRP na SPR-receptor (odblokování další translace, rostoucí peptid již proniká do lumen ER)
- 4: odštěpení signální sekvence peptidasou v lumen ER
- 5: pokračování translace a svinování vynikajícího řetězce
- 6: terminace translace, bílkovina bud pronikla celá do lumen ER nebo zůstala částečně v membráně (transmembránové proteiny)



Zubay G.L. et al: Principles of Biochemistry, 1995



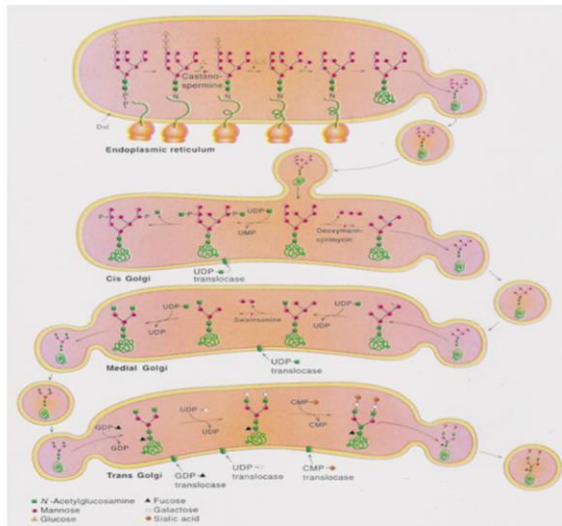
## Syntéza oligosacharidové části N-glykoproteinů (1. část)



N-glykoproteiny: oligosacharidový řetězec je navázán na amidový dusík Asn v sekvenci –Asn-jakákoli AK – Ser nebo Thr (viz učebnice str. 49)

Nejdříve se synthetizuje oligosacharidový řetězec na specifickém nosiči dolicholfosfátu, rozpuštěném v membráně ER, a to nejdříve na cytosolové straně a posléze na vnitřní straně membrány (viz obr.)

## Syntéza sacharidové části N-glykoproteinů (2. část)



Zubay G.L. et al: Principles of Biochemistry, 1995

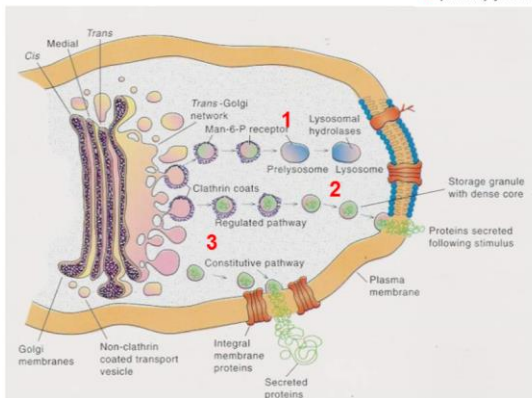
Tento základní řetězec se v průběhu translace (kotranslační modifikace) přenese na signální sekvenci –Asn-X-Sr/Thr- (viz předchozí slide). Sacharidový řetězec se pak upravuje dalšími modifikacemi v ER a Golgiho aparátu.

O-Glykoproteiny se syntetizují postupnými enzymovými úpravami již sbalených polypeptidových řetězců (posttranslační úpravy) v ER a Gogihho aparátu.

## Směrování („targeting“) proteinů z endoplasmatického retikula

### Základní možnosti směrování proteinů

- 1: proteiny zůstávají v lysomech
- 2: proteiny jsou na základě vnějšího impulu sekretovány z buňky
- 3: proteiny jsou konstitutivně (vždy) sekretovány z buňky



Zubay G.L. et al: Principles of Biochemistry, 1995

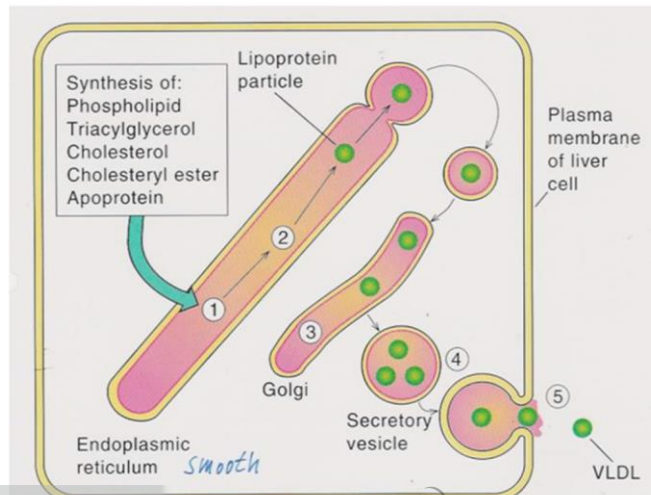


VŠCHT PRAHA

Nepřihlášený host

## Funkce hladkého endoplasmatického retikula

Zubay G.L. et al: Principles of Biochemistry, 1995



Hlavní funkce hladkého endoplasmatického retikula: syntéza lipidů a lipoproteinů (zejména v jaterních buňkách)



# CYTOSKELET

Soustava vláknitých bílkovinných struktur v cytosolu eukaryotních buněk

## FUNKCE

- Mechanická odolnost a udržení charakteristického tvaru buněk
- Transport uvnitř buňky (neurony až 1 m)
  - príklady: adenovirus ( $r = 45 \text{ nm}$ )
    - ve vodě potřebuje k pohybu na vzdálenost  $10 \mu\text{m}$  asi 10 s
    - v cytosolu na tutéž vzdálenost asi 1,5 h
  - pohyb chromosomů při dělení buňky
- Možná i další



## Složky cytoskletu

| Struktura               | Tloušťka | Strukturní proteiny  | Vazba NTP | Asociované proteiny |
|-------------------------|----------|--|-----------|---------------------|
| mikrotubuly             | 25 nm    | $\alpha$ -tubulin<br>$\beta$ -tubulin                            | GTP       | MAPs<br>MIP         |
| intermediární filamenta | 10 nm    | kyselé a bazické keratiny<br>vimentin<br>desmin<br>lamin A, B, C | -         | ?                   |
| mikrofilamenta          | 7 nm     | aktin  | ATP       | myosiny             |

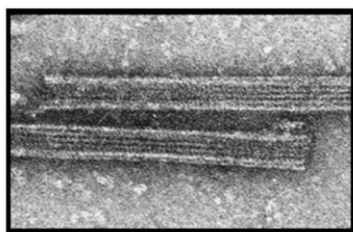
Bude probráno v dalších části.



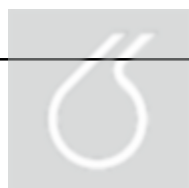
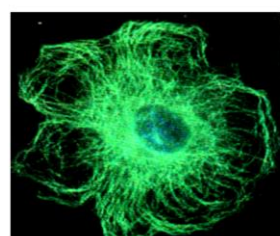


## Mikrotubuly pod mikroskopem

Elektronová mikroskopie



Fluorescenční mikroskopie



VŠCHT PRAHA  
Nepřehlazený host (I)

## Struktura a vznik mikrotubulů

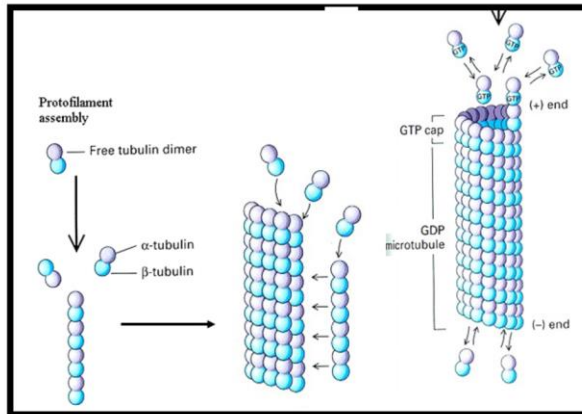
Základní jednotka:  
nekovariantní heterodimer  
 $\alpha$ - a  $\beta$ -tubulinu

Protofilamenta: nekovariantní  
lineární polyery těchto dimerů

Vlastní mikrotubulus:  
13 – 16 protofilament  
lze rozlišit + a – konec  
polarizace buňky (železnice)

Velmi dynamický systém:  
růst směrem k + konci,  
odbourávání od - konce

Pro připojení jednoho dimeru  
na + konci je zapotřebí energie,  
ziskaná hydrolyzou jedné  
molekuly GTP  
(v přítomnosti  $Mg^{2+}$ )



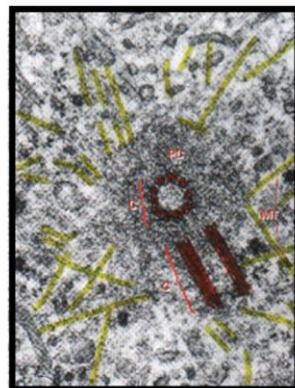
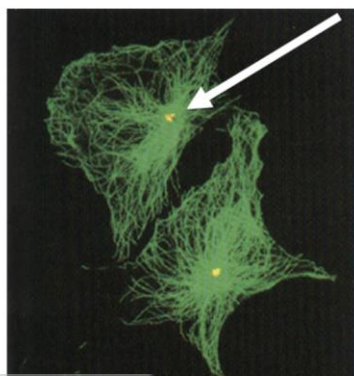
VŠCHT PRAHA  
Nepřihlášený host (1)

## MTOC – microtubule organisation centre, též centrosom

„Hlavní nádraží“ - mikrotubuly jsou v něm zakotveny - koncem

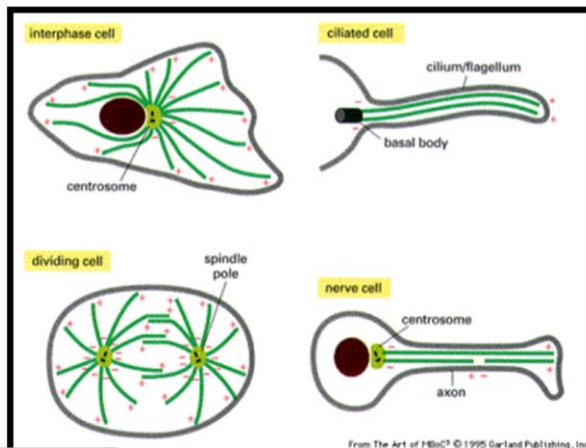
Nalézá se poblíž jádra

Centrum mnoha důležitých buněčných funkcí, důležité pro dělení buňky



VŠCHT PRAHA  
Nepřihlášený host

## MTOC – schema v různých buňkách



Nepřihlášený host

## MAPs (microtubule associated proteins) - mikrotubulární motory

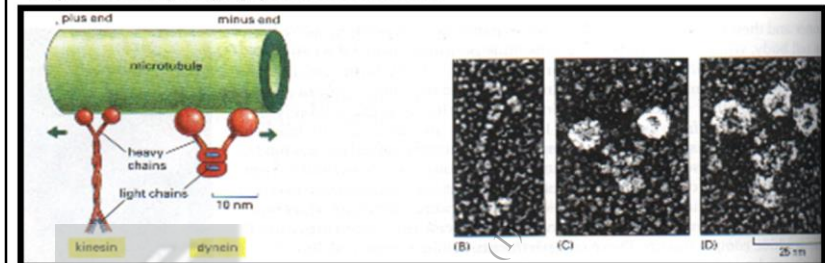
Proteiny zajišťující transport částic (molekul, chromosomů organel) po vláknech mikrotubulů

Mají specifická vazebná místa pro jednotlivé „pasažéry“.

Kinesiny: jezdí od - k +, jednoduchá molekula,  
zvláštní skupina: „spindle kinesins“, podílejí se na dělení buněk pohybem  
po dělícím vřetánku

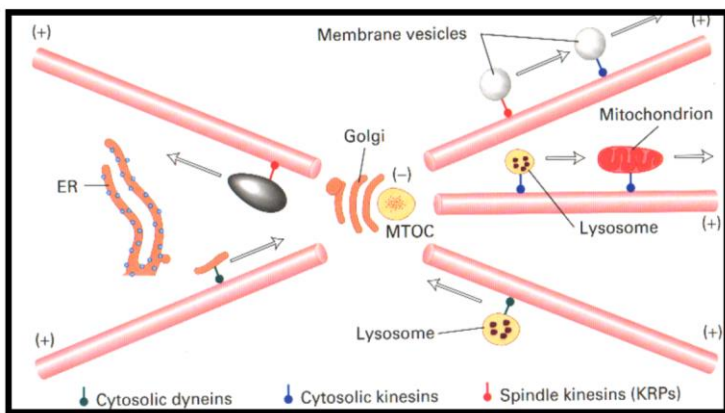
Dyneiny: Jezdí od + k -, komplex více bílkovin

Na jeden krok hydrolyzuje jednu molekulu ATP.



Nepřihlášený host

## Takže nic volně neplave



VŠCHT PRAHA  
Nepřihlášený host

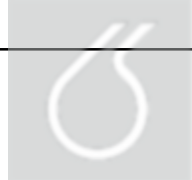
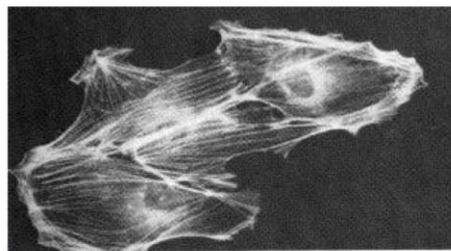


## Mikrofilamenta

Elektronová mikroskopie



Fluorescenční mikroskopie



VŠCHT PRAHA

Nepřehlazený host (1)

## Mikrofilamenta

Základní složka: šroubovicové vlákno tvořené monomery G-aktinu (globulárního)

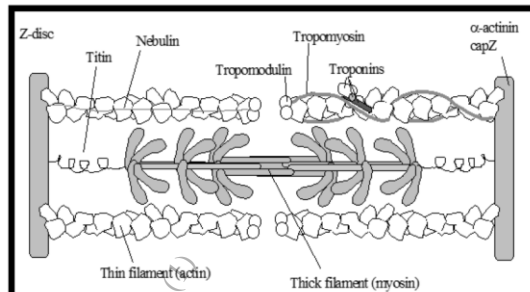
Hlavní složky: F-aktin polymer G-aktinu) a myosin (učebnice str. 75),

vzájemný pohyb je spojen s hydrolyzou ATP

Jsou orientovány: + a - konec. Stabilnější než mikrotubulární síť.

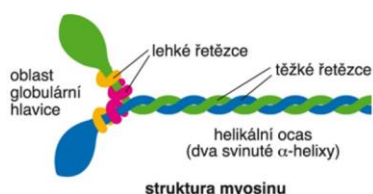
*Mikrofilamenta jsou zodpovědná za pohyb buněk jako celku*

Bílkovinná struktura příčně-pruhovaného svalu



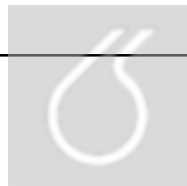
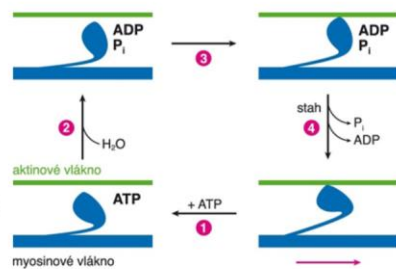
VŠCHT PRAHA  
Nepřihlášený host

## Myosiny – aktinové motory



struktura myosinu

Vzájemný pohyb aktinového a myozinového vlákna, spojený s hydrolyzou ATP (učebnice str. 75)



VŠCHT PRAHA  
Nepřihlášený host

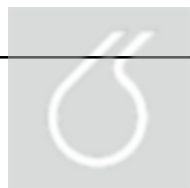
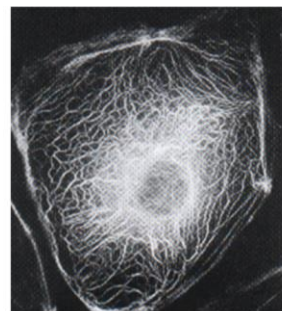


## Inetermediární filamenta

Elektronová mikroskopie



Fluorescenční mikroskopie



VŠCHT PRAHA

Nepřihlášený host (1)

## Inetermediární filamenta

Velmi heterogenní složení, závisí na druhu tkáně

Nejstabilnější struktura cytoskeletu, vlákna nejsou orientována

Zodpovědná za mechanickou stabilitu buněk a tkání; nezajišťuje pohyb, a proto nepotřebují NTP.

Kyselé a basické keratiny (chlupy, vlasy, nehty...)

Neurofilamenta (axony nervových buněk)

Vimentin (zejména důležitý při vývoji zárodku)

Desmin (ve svalové tkáni)

Lamininy (báze epithelových tkání)

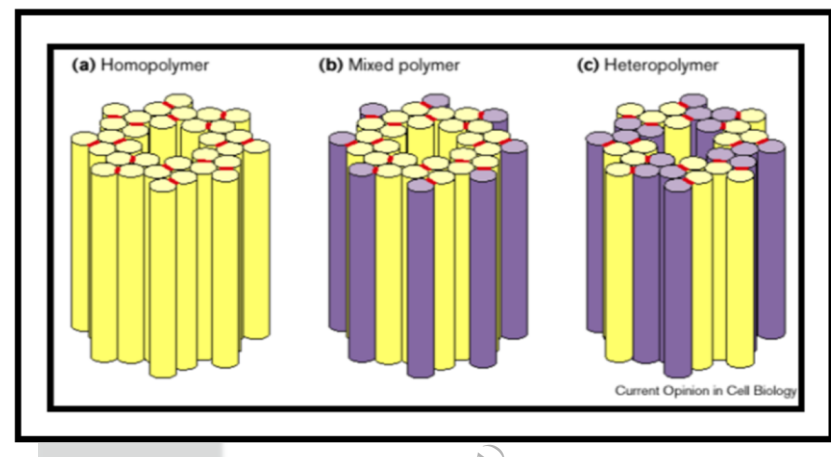
Laminy (připojení jaderního obsahu na jadernou membránu)

Atd.





## Jednotlivé složky intermediárních filament mohou kopolymerovat



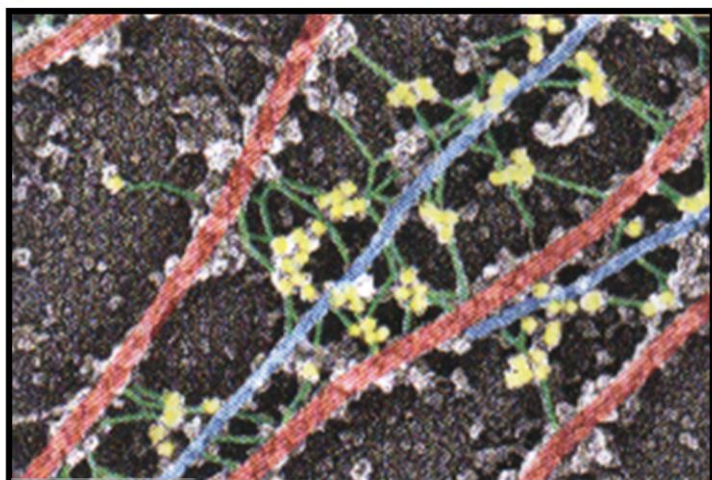
VŠCHT PRAHA

Nepřihlášený host

(1)



## Propojení jednotlivých složek cytoskeltu



Takovouto síť vláken v buňce jednotlivá vlákna cytoskeletu vytvářejí!!!

VŠCHT PRAHA  
Nepřihlášený host